

Modellierung von Hydrosystemen - SoSe 2022

BHYWI-22-B2-T14: Finite-Differenzen-Methode: Implizit

Olaf Kolditz, Lars Bilke, Karsten Rink, Haibing Shao, Erik Nixdorf

¹Helmholtz Centre for Environmental Research – UFZ, Leipzig

²Technische Universität Dresden – TUD, Dresden

³Center for Advanced Water Research – CAWR

⁴TUBAF-UFZ Center for Environmental Geosciences – C-EGS, Freiberg / Leipzig

⁴Bundesanstalt für Geowissenschaften und Rohstoffe – BGR, Hannover / Berlin

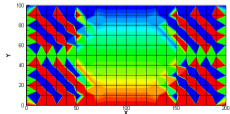
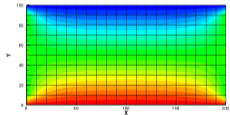
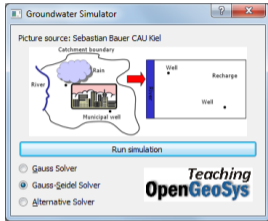
Dresden, 01.07.2022

Zeitplan: Modellierung von Hydrosystemen: Zweiter Block (B2)

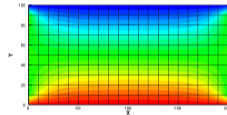
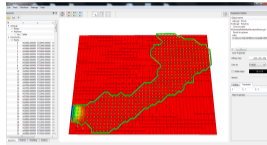
Sommersemester 2022: BHYWI-22-B2

Datum	B2	Thema	Format
27.05.2022	B2-T1.0	Einführung in die Veranstaltung (B2) (Kolditz)	Online
27.05.2022	B2-T1.1	Hydromechanik und Numerische Methoden (Kolditz)	Online
27.05.2022	B2-T1.2	Grundwasserhydraulik und Prinzipbeispiel (Kolditz)	Online
03.06.2022	B2-T3.1	Stofftransport in Hydrosystemen (Shao)	HSZ/403
03.06.2022	B2-T3.2	Stofftransport in Hydrosystemen (Shao)	HSZ/403
10.06.2022	–	Vorlesungsfrei (Pfingsten)	
17.06.2022	B2-T2.1	Regionale Grundwassersysteme (Nixdorf)	HSZ/403
17.06.2022	B2-T2.2	Regionale Grundwassersysteme (Nixdorf)	HSZ/403
17.06.2022	B2-T2.3	Regionale Grundwassersysteme (Nixdorf): Übung	HSZ/403
24.06.2022	B2-T4.1	Virtuelle VISLAB Tour - Vorlesung (Rink/Bilke)	Online
24.06.2022	B2-T4.2	Virtuelle VISLAB Tour - Demo (Rink/Bilke)	Online
01.07.2022	B2-T1.3	Finite-Differenzen-Methode: Explizit (Kolditz)	HSZ/403
01.07.2022	B2-T1.4	Finite-Differenzen-Methode: Implizit (Kolditz)	HSZ/403
01.07.2022	B2-T1.5	Finite-Differenzen-Methode: Übungen (Kolditz)	HSZ/403
08.07.2022	B2-T3.3	Stofftransport in Hydrosystemen (Shao)	GER/38
08.07.2022	B2-T3.4	Stofftransport in Hydrosystemen (Shao)	GER/38
15.07.2022	B2-T1.6	Zusammenfassung der Veranstaltung (Hartmann/Kolditz)	HSZ/403
15.07.2022	B2-T1.7	Vorbereitung Klausur (Hartmann/Kolditz)	HSZ/403

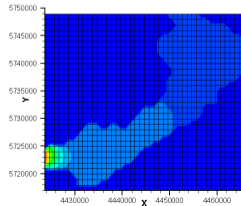
explizite FDM



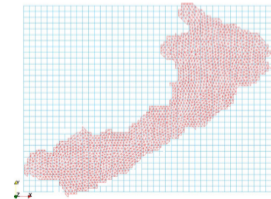
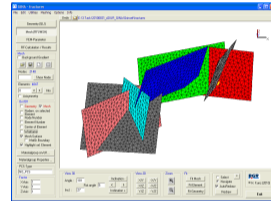
implizite FDM



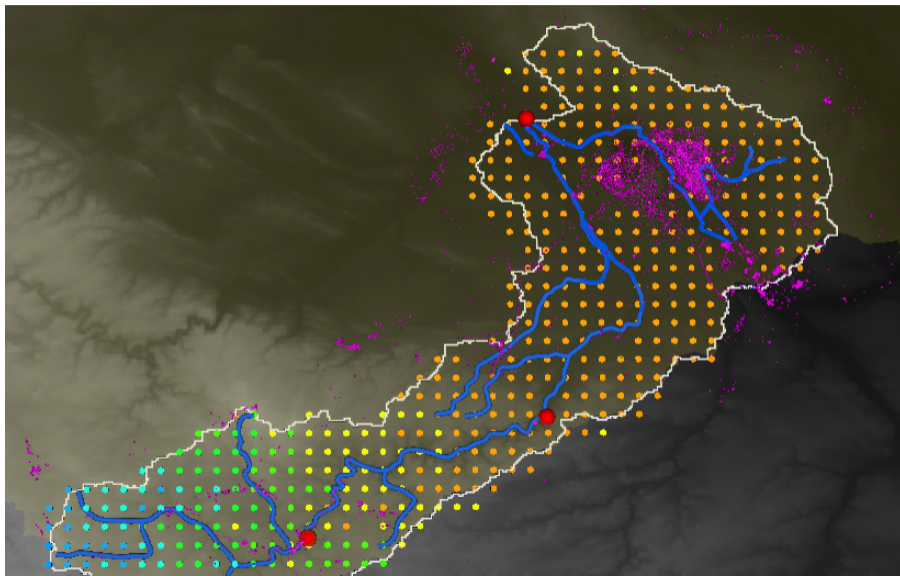
...



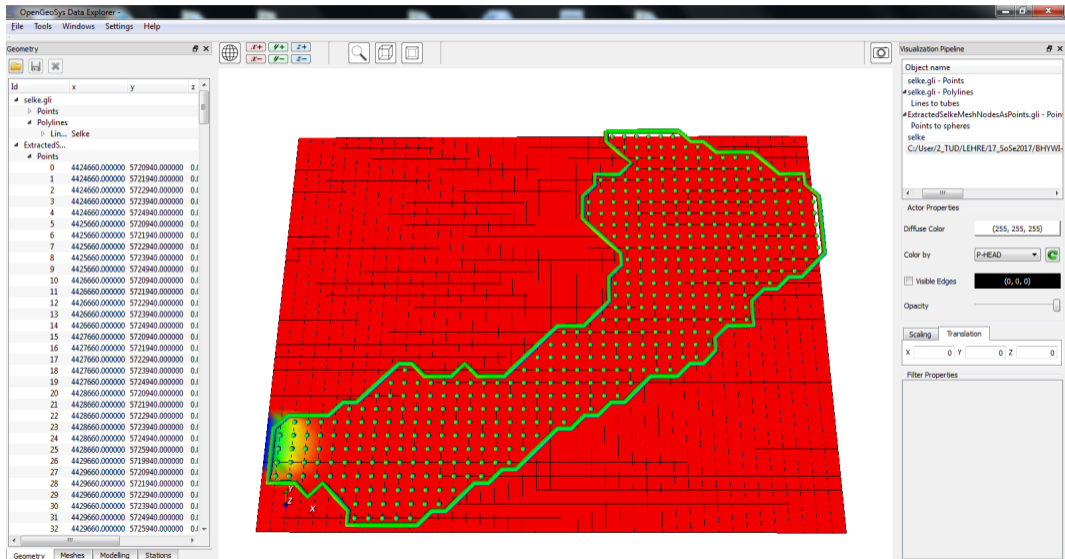
FEM



Selke Einzugsgebiet



Selke Einzugsgebiet



siehe auch Abschn. 4.2 Hydroinformatik II

- ▶ Auswertung der Ableitungen zum neuen Zeitpunkt t^{n+1}

$$\left[\frac{\partial^2 h}{\partial x^2} \right]_{i,j}^{n+1} \approx \frac{h_{i-1,j}^{n+1} - 2h_{i,j}^{n+1} + h_{i+1,j}^{n+1}}{\Delta x^2} \quad (1)$$

$$\left[\frac{\partial^2 u}{\partial y^2} \right]_{i,j}^{n+1} \approx \frac{h_{i,j-1}^{n+1} - 2h_{i,j}^{n+1} + h_{i,j+1}^{n+1}}{\Delta y^2} \quad (2)$$

► Differenzen-Schema

$$S_{i,j} \frac{u_{i,j}^{n+1} - u_{i,j}^n}{\Delta t} - K_{i,j}^x \frac{u_{i+1,j}^{n+1} - 2u_{i,j}^{n+1} + u_{i-1,j}^{n+1}}{\Delta x^2} - K_{i,j}^y \frac{u_{i,j+1}^{n+1} - 2u_{i,j}^{n+1} + u_{i,j-1}^{n+1}}{\Delta y^2} = Q_{i,j} \quad (3)$$

► Gleichungssystem

$$\begin{aligned} & \left(\frac{S}{\Delta t} + 2\frac{K^x}{\Delta x^2} + 2\frac{K^y}{\Delta y^2} \right) u_{i,j}^{n+1} \\ & - \left(\frac{K^x}{\Delta x^2} \right) (u_{i-1,j}^{n+1} + u_{i+1,j}^{n+1}) - \left(\frac{K^y}{\Delta y^2} \right) (u_{i,j-1}^{n+1} + u_{i,j+1}^{n+1}) \\ & = \frac{S}{\Delta t} u_{i,j}^n + Q_{i,j} \end{aligned} \tag{4}$$

Wir vereinfachen die Gleichung (4), indem wir für den Moment annehmen, dass $K^x = K^y = K$ (Isotropie) und $\Delta x = \Delta y = \Delta l$ (gleichförmige Diskretisierung). Die Multiplikation mit $\Delta t/S$ ergibt dann folgende Beziehung.

$$\begin{aligned} & \left(1 + 4 \frac{K \Delta t}{S \Delta l^2}\right) u_{i,j}^{n+1} \\ & - \left(\frac{K \Delta t}{S \Delta l^2}\right) (u_{i-1,j}^{n+1} + u_{i+1,j}^{n+1} + u_{i,j-1}^{n+1} + u_{i,j+1}^{n+1}) \\ & = u_{i,j}^n + \frac{\Delta t}{S} Q_{i,j} \end{aligned} \tag{5}$$

K : Vergleichen Sie die Beziehung (5) mit der Gleichung (4.10, Skript Hydroinformatik II).

Der Ausdruck $K/S = \alpha$ entspricht dem Diffusivitätskoeffizienten (Überprüfen sie dies anhand der Einheiten). Damit ist die Neumann-Zahl

$$Ne = \frac{K \Delta t}{S \Delta l^2} \quad (6)$$

Nun versuchen wir anhand der Gleichung (5) die Struktur des zu lösenden Gleichungssystems zu beschreiben. Wir gehen wieder ganz genau so vor wie bei der 1D Diffusionsgleichung im Abschn. 4.2 (Hydroinformatik II).

2D implizite FDM - Gleichungssystem

$$\underbrace{\begin{bmatrix} 1 + 4Ne & -Ne & & & & & & \\ -Ne & \dots & \dots & & & & & \\ & \dots & \dots & \dots & & & & \\ & & & -Ne & 1 + 4Ne & & & \\ & & & & & 1 + 4Ne & -Ne & \\ & & & & & \dots & \dots & \\ & & & & & & -Ne & 1 + 4Ne \end{bmatrix}}_{\mathbf{A}}$$
$$= \begin{bmatrix} u_{0,0}^{n+1} \\ u_{1,0}^{n+1} \\ \dots \\ u_{l-1,0}^{n+1} \\ u_{0,1}^{n+1} \\ \dots \\ u_{l-1,j-1}^{n+1} \end{bmatrix} = \begin{bmatrix} u_{0,0}^n + b_{0,0} \\ u_{1,0}^n + b_{1,0} \\ \dots \\ u_{l-1,0}^n + b_{l-1,0} \\ u_{0,1}^n + b_{0,1} \\ \dots \\ u_{l-1,j-1}^n + b_{l-1,j-1} \end{bmatrix}$$

$\underbrace{\hspace{10em}}_{\mathbf{x}} \quad \underbrace{\hspace{10em}}_{\mathbf{b}}$

Auch was die Programmierung betrifft, können wir auf unsere Erfahrungen in Hydroinformatik II aufbauen. Es gibt praktisch keinen Unterschied, ob wir es mit einem 1D oder 2D Problem zu tun haben. Wir müssen lediglich aufpassen, dass wir die Indizes richtig zählen.

Wir benutzen die Grundstruktur des objekt-orientierten Programms für das explizite FD Verfahren. Die wesentlichen Unterschiede der impliziten zur expliziten FDM sind, dass wir ein Gleichungssystem aufbauen und lösen müssen.

2D implizite FDM - die main function

```
1 #include <iostream>
2 #include "fdm.h"
3 #include <time.h>
4 extern void Gauss(double*,double*,double*,int);
5 int main(int argc, char *argv[])
6 {
7     //-----
8     FDM* fdm = new FDM();
9     fdm->SetInitialConditions();
10    fdm->SetBoundaryConditions();
11    //-----
12    int tn = 2;
13    for(int t=0;t<tn;t++)
14    {
15        fdm->AssembleEquationSystem();
16        Gauss(fdm->matrix,fdm->vecb,fdm->vecx,fdm->IJ);
17        fdm->SaveTimeStep();
18        fdm->OutputResults(t);
19    }
20    //-----
21    fdm->out_file.close();
22    return 0;
23 }
```

Listing 1: OOP main function

Dennoch können wir erstaunlich viel wiederverwenden, bis auf

```
1 fdm->AssembleEquationSystem();  
2 Gauss(fdm->matrix,fdm->vecb,fdm->vecx,fdm->IJ);
```

Listing 2: Rechenschema

Der Gleichungslöser Gauss ist übrigens genau der gleiche, den wir schon für die Lösung des impliziten FD Verfahrens für die Diffusionsgleichung in Hydroinformatik II benutzt haben.

Der Reihe nach. Die Assemblierfunktion soll das Gleichungssystem (7) aufbauen. Vom Prinzip her das Gleiche wie beim 1D FD Verfahren:

- ▶ Die Hauptdiagonale bekommt den Wert $1 + 4Ne$,
- ▶ die Nebendiagonalen haben den Wert $-Ne$.

Dies lässt sich programmtechnisch recht einfach bewerkstelligen (sie erinnern sich, wie wir in einer Doppelschleife, die Hauptdiagonale herausfinden können)

```
1 void FDM::AssembleEquationSystem()
2 {
3     // Matrix entries
4     for(i=0;i<IJ;i++)
5     {
6         vecb[i] = u[i];
7         for(j=0;j<IJ;j++)
8         {
9             matrix[i*IJ+j] = 0.0;
10            if(i==j)
11                matrix[i*IJ+j] = 1. + 4.*Ne;
12            else if(abs((i-j))==1)
13                matrix[i*IJ+j] = - Ne;
14        }
15    }
16    // Incorporate boundary conditions
17    IncorporateBoundaryConditions();
18    // Matrix output
19    WriteEquationSystem();
20 }
```

Listing 3: Gleichungssystem aufbauen

2D implizite FDM

Um die Assemblierfunktion zu testen bauen wir uns ein ganz einfaches Beispiel bestehend aus nur 9 Knoten (Abb. 2) - je einfacher, desto besser.

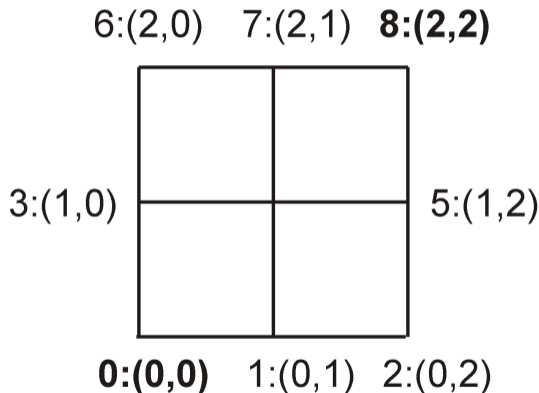


Fig.: Testbeispiel

Mit Hilfe der nützlichen Funktion `WriteEquationSystem()` können wir das Gleichungssystem in eine Datei schreiben, das Ergebnis passt.

```
2 -0.25 0 0 0 0 0 0 0 0
-0.25 2 -0.25 0 0 0 0 0 0 0
0 -0.25 2 -0.25 0 0 0 0 0 0
0 0 -0.25 2 -0.25 0 0 0 0 0
0 0 0 -0.25 2 -0.25 0 0 0 0
0 0 0 0 -0.25 2 -0.25 0 0 0
0 0 0 0 0 -0.25 2 -0.25 0 0
0 0 0 0 0 0 -0.25 2 -0.25 0
0 0 0 0 0 0 0 -0.25 2 -0.25
0 0 0 0 0 0 0 0 -0.25 2
```

Etwas kniffliger ist es mit dem Einbauen der Randbedingungen. Wir erinnern uns, der Trick war eine Manipulation der Matrix und des RHS (right-hand-side) vectors, um den vorgegebenen Wert der Randbedingung zu erzwingen. Der Code zeigt das Beispiel für den Einbau einer Randbedingung im Knoten (also oben rechts in unseren kleinen Testbeispiel).

```
1 void FDM::IncorporateBoundaryConditions()
2 {
3     size_t i_bc;
4     int i_row, k;
5     for(i_bc=0; i_bc<bc_nodes.size(); i_bc++)
6     {
7         i_row = bc_nodes[i_bc];
8         // Null off-diagonal entries of the related row and columns
9         // Apply contribution to RHS by BC
10        for(j=0; j<IJ; j++)
11        {
12            if(i_row == j)
13                continue; // do not touch diagonals
14            matrix[i_row*(IJ)+j] = 0.0; // NULL row
15            k = j*(IJ)+i_row;
16            // Apply contribution to RHS by BC
17            vecb[j] -= matrix[k]*u[i_row];
18            matrix[k] = 0.0; // Null column
19        }
20        // Apply Dirichlet BC
21        vecb[i_row] = u[i_row]*matrix[i_row*(IJ)+i_row];
22    }
23 }
```

Listing 4: Randbedingungen einbauen (1. Art - Dirichlet)

Wir schreiben wieder das Gleichungssystem mit `WriteEquationSystem()` in eine Datei und schauen uns jeden Schritt genau an.

- ▶ Diagonalelemente werden nicht angefasst.
- ▶ Reihe zu Null setzen

```
2 0 0 0 0 0 0 0 0 0      b: 1
-0.25 2 -0.25 0 0 0 0 0 0 b: 0
0 -0.25 2 -0.25 0 0 0 0 0 b: 0
0 0 -0.25 2 -0.25 0 0 0 0 b: 0
0 0 0 -0.25 2 -0.25 0 0 0 b: 0
0 0 0 0 -0.25 2 -0.25 0 0 b: 0
0 0 0 0 0 -0.25 2 -0.25 0 b: 0
0 0 0 0 0 0 -0.25 2 -0.25 b: 0
0 0 0 0 0 0 0 0 2      b: -1
```

► Rechte Seite manipulieren

```
2 0 0 0 0 0 0 0 0 0      b: 1
-0.25 2 -0.25 0 0 0 0 0 0 0 b: 0.25
0 -0.25 2 -0.25 0 0 0 0 0 0 b: 0
0 0 -0.25 2 -0.25 0 0 0 0 0 b: 0
0 0 0 -0.25 2 -0.25 0 0 0 0 b: 0
0 0 0 0 -0.25 2 -0.25 0 0 0 b: 0
0 0 0 0 0 -0.25 2 -0.25 0 0 b: 0
0 0 0 0 0 0 -0.25 2 -0.25 0 b: -0.25
0 0 0 0 0 0 0 0 2      b: -1
```

► Spalte Null setzen

```
2 0 0 0 0 0 0 0 0 0      b: 1
0 2 -0.25 0 0 0 0 0 0 0    b: 0.25
0 -0.25 2 -0.25 0 0 0 0 0 0 b: 0
0 0 -0.25 2 -0.25 0 0 0 0 0 b: 0
0 0 0 -0.25 2 -0.25 0 0 0 0 b: 0
0 0 0 0 -0.25 2 -0.25 0 0 0 b: 0
0 0 0 0 0 -0.25 2 -0.25 0 0 b: 0
0 0 0 0 0 0 -0.25 2 0      b: -0.25
0 0 0 0 0 0 0 0 2         b: -1
```

► Neumann Randbedingungen setzen

```
2 0 0 0 0 0 0 0 0 0      b:2
0 2 -0.25 0 0 0 0 0 0 0    b:0.25
0 -0.25 2 -0.25 0 0 0 0 0  b:0
0 0 -0.25 2 -0.25 0 0 0 0  b:0
0 0 0 -0.25 2 -0.25 0 0 0  b:0
0 0 0 0 -0.25 2 -0.25 0 0  b:0
0 0 0 0 0 -0.25 2 -0.25 0  b:0
0 0 0 0 0 0 -0.25 2 0      b:-0.25
0 0 0 0 0 0 0 0 0 2      b:-2
```


Schließlich ergibt sich folgendes Gleichungssystem zur Lösung durch das Gauss-Verfahren noch mal richtig aufgeschrieben.

$$\begin{aligned}2h_1^{n+1} &= 2h_1^n \\2h_2^{n+1} - 0.25h_3^{n+1} &= h_2^n + 0.25h_1^n \\-0.25h_2 + 2h_3 - 0.5h_4 &= 0 \\-0.25h_3 + 2h_4 - 0.5h_5 &= 0 \\-0.25h_4 + 2h_5 - 0.5h_6 &= 0 \\-0.25h_5 + 2h_6 - 0.5h_7 &= 0 \\-0.25h_6 + 2h_7 - 0.5h_8 &= 0 \\-0.25h_7 + 2h_8 &= -0.25 \\2h_9^{n+1} &= h_9^n - 2\end{aligned}$$

Das geschriebene Ergebnisfile sieht dann folgendermaßen aus.

```
ZONE T="0.25", I=3, J=3, DATAPACKING=POINT
```

```
0 0 1
```

```
1 0 0.127016
```

```
2 0 0.016129
```

```
0 1 0.00201613
```

```
1 1 0
```

```
2 1 -0.00201613
```

```
0 2 -0.016129
```

```
1 2 -0.127016
```

```
2 2 -1
```

```
ZONE T="100.", I=3, J=3, DATAPACKING=POINT
```

```
0 0 1
```

```
1 0 0.267857
```

```
2 0 0.0714286
```

```
0 1 0.0178571
```

```
1 1 1.80718e-19
```

```
2 1 -0.0178571
```

```
0 2 -0.0714286
```

```
1 2 -0.267857
```

```
2 2 -1
```

2D implizite FDM

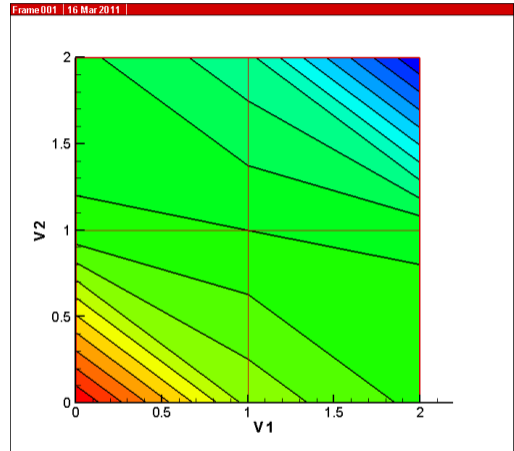
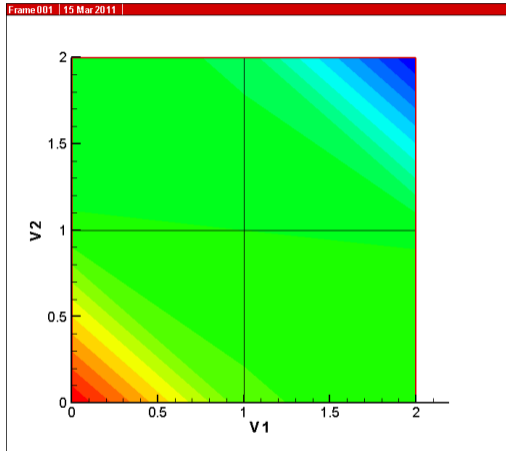


Fig.: Ergebnisse des impliziten FD Verfahrens für $t=0.25, 10$ sec